

УДК 539.293.011.4

В. Ф. КИСЕЛЕВ, С. Н. КОЗЛОВ

**О РОЛИ КОЛЕБАТЕЛЬНЫХ ВОЗБУЖДЕНИЙ  
МОЛЕКУЛЯРНОЙ СИСТЕМЫ В КИНЕТИКЕ  
МЕДЛЕННОЙ РЕЛАКСАЦИИ ЗАРЯДА НА ПОВЕРХНОСТИ  
ПОЛУПРОВОДНИКА**

Как известно, кинетика медленной релаксации (МР) заряда на неоднородной поверхности полупроводника хорошо аппроксимируется соотношением

$$\Delta Q_{ss}(t) = \Delta Q_{ss}(0) \exp(-t/\tau)^a, \quad (1)$$

где  $\tau$  — эффективное время МР, которое близко к среднестатистическому времени релаксации;  $a$  — коэффициент, зависящий от степени неоднородности поверхности и обычно равный 0,3—0,6 [1]. Из эксперимента следует, что в достаточно широком интервале температур

$$\tau^{-1} = \tau_0^{-1} \exp(-\Delta E_\tau/kT), \quad (2)$$

где  $\Delta E_\tau$  — так называемая энергия активации эффективного времени МР. В работе [1] показано, что величина  $\Delta E_\tau$  близка к средней высоте термической активации носителей заряда при обмене между МС и объемом полупроводника.

Одним из наиболее дискуссионных в электронной модели МР является вопрос о больших временах обмена носителями заряда между медленными состояниями (МС) и разрешенными зонами полупроводника. Величина  $\tau$  в ряде случаев, в частности, для реальных поверхностей германия и кремния может достигать нескольких часов. Во многих работах предполагается, что затрудненный электронный обмен МС с объемом полупроводника связан с тем, что МС находятся на внешней поверхности окисного слоя. Прямые экспериментальные данные [2, 3] не подтверждают эту точку зрения. МС, проявляющиеся в экспериментах по эффекту поля, расположены вблизи границы полупроводник — окисел, но обладают весьма малыми сечениями захвата свободных носителей заряда  $C$ . Например, в случае реальной поверхности германия  $C \approx 10^{-26}—10^{-28} \text{ см}^2$  [4]. МР наблюдается и для полупроводников без окисного слоя, например, бинарных полупроводников, а также для атомарно-чистой поверхности германия с адсорбированными молекулами (см. обзор [5]). Эти объекты характеризуются столь же малыми сечениями захвата. Так, в случае CdS величина  $C \approx 10^{-23} \text{ см}^2$ , в случае ZnO  $C \approx 10^{-25}—10^{-26} \text{ см}^2$  [6]. Для объяснения столь малых сечений захвата автор [6] допускает существование на поверхности этих полупроводников буферного слоя, природа которого не конкретизируется.

Ранее [2—5], на основании анализа собственных и литературных данных, нами было показано, что основная часть МС на границе раздела германий — окисел, а также на поверхности бинарных полупроводников (без окисной пленки) имеет адсорбционное происхождение. В работе [7] было замечено, что энергия активации процесса МР за-

висит от типа адсорбированных молекул. Мы, используя метод эффекта поля [3, 4], провели детальные исследования влияния адсорбции акцепторных (парабензохин — *n*-бх) и донорных (вода, аммиак) молекул на параметры  $\Delta E_\tau$  и  $\tau_0^{-1}$  температурной зависимости МР (2). Изучалась реальная поверхность германия, обработанная в перекисном травителе и предварительно (до адсорбции) вакуумированная при 470—570 К. Кинетика МР измерялась в диапазоне температур 250—320 К. Рассчитанные из кинетических кривых параметры  $\tau_0^{-1}$  и  $\Delta E_\tau$  приведены в таблице.

**Параметры кинетики МР на реальной поверхности германия с адсорбированными молекулами  $H_2O$ ,  $NH_3$  и *n*—бх.**

Адмолекулы	$\hbar\omega_K$ , эВ	Параметры					
		параметры МР в парах (давление $1,33 \cdot 10^3$ Па)			параметры МР после длительной откачки соответствующих паров		
		$\tau$ , с	$\tau_0^{-1}$ , $s^{-1}$	$\Delta E_\tau$ , эВ	$\tau$ , с	$\tau_0^{-1}$ , $s^{-1}$	$\Delta E_\tau$ , эВ
$H_2O$	0,41—0,45	30	$2,6 \cdot 10^9$	0,65	180	$5,9 \cdot 10^2$	0,30
$NH_3$	0,37—0,42	60	$1,9 \cdot 10^8$	0,60	210	$7,4 \cdot 10^1$	0,25
<i>n</i> —бх	0,20—0,21	10	$5 \cdot 10^6$	0,40	110	2,94	0,15

Из таблицы видно, что энергия активации МР  $\Delta E_\tau$  и частотный фактор  $\tau_0^{-1}$  зависят от строения адсорбированных молекул. После удаления с поверхности слабосвязанных молекул длительной откачкой при 300 К наблюдается заметное снижение  $\Delta E_\tau$  и одновременно резкое уменьшение (на несколько порядков) величины  $\tau_0^{-1}$  — см. таблицу и рис. 1. На вакуумированной поверхности германия остаются прочно связанные донорно-акцепторными связями молекулы, ответственные за возникновение медленных состояний (МС) и заряжение поверхности при адсорбции [3, 5]. Заметим, что частотный фактор  $\tau_0^{-1}$  в этом случае (таблица) оказывается на много порядков ниже обычных значений  $\tau_0^{-1}$  для электронных переходов в объеме ( $10^{12}$ — $10^{13} s^{-1}$ ).

Указанные эффекты можно качественно объяснить, воспользовавшись представлениями, лежащими в основе теории безызлучательных электронных переходов в полупроводниках (см., например, [8, 9]). Попытка применить эти представления к процессам захвата на поверхностные электронные состояния была предпринята ранее в работах [10, 11]. Большие времена релаксации МС авторы [10] формально связывают с малой величиной параметра эффективной связи электрона с фононами решетки, оставляя в стороне вопрос о причинах значительного уменьшения этого параметра, а также об ожидаемой зависимости кинетики МР от температуры. В работе [11] предполагается, что захваченный на МС электрон находится на орбиталах адсорбированной молекулы и поэтому слабо взаимодействует с фононами решетки. В этом случае наибольшие  $\tau$  должны наблюдаться в условиях, когда реализуется полный перенос электрона на орбитали адсорбированной молекулы. Однако из эксперимента следует (таблица), что МР наблюдается и в тех случаях, когда полный перенос носителя заряда на адсорбированную молекулу невозможен (например, при адсорбции  $H_2O$  и  $NH_3$  [3]).

Конкретизируем модель электронных безызлучательных переходов [9] для случая захвата на МС с учетом специфики последних. С этой целью рассмотрим зависимость полной потенциальной энергии  $W$  кристаллической решетки от конфигурационной координаты  $q$  — рис. 2, б. Потенциальная кривая I на рис. 2, б отвечает локализованному на МС электрону, набор кривых 2 — состояниям свободного электрона, которым соответствуют энергетические уровни в зоне проводимости, выделенные на зонной диаграмме (рис. 2, а) жирными линиями. Пусть до захвата электрона локальное окружение МС характеризуется координатой  $q_1$  — рис. 2, б. Если при захвате ло-

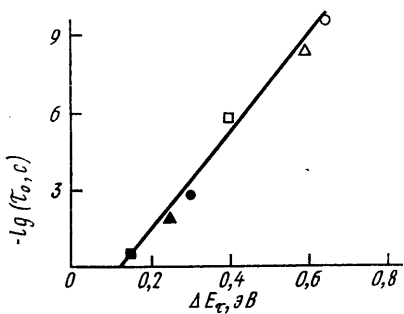


Рис. 1. Экспериментальная зависимость предэкспоненциального множителя  $\tau_0^{-1}$  от энергии активации МР. Светлые точки — в парах воды ( $\circ$ ), аммиака ( $\Delta$ ) и парабензохинона ( $\square$ ). Темные точки — после длительной откачки соответствующих паров при 300 К

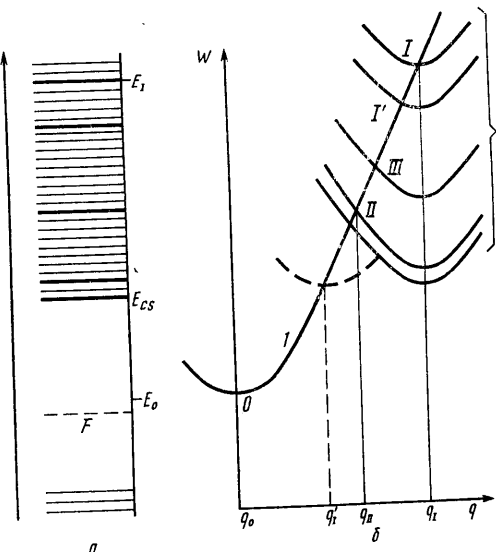


Рис. 2. Зонная диаграмма полупроводника (а). Зависимость полной потенциальной энергии решетки от конфигурационной координаты (б)

кальное окружение МС не успевает перестроиться (соблюдается принцип Франка — Кондона), то электрон из зоны проводимости должен сначала попасть на уровень  $E_1$  (рис. 2, а), которому отвечает состояние «неперестроенного» центра I на конфигурационной диаграмме (рис. 2, б). Затем происходит перестройка окружения центра захвата и электрон оказывается в равновесном состоянии. 0 (с координатой  $q_0$ ), которому отвечает энергетическое положение «эффективного уровня» МС  $E_0$ , близкое, по данным [3], к середине запрещенной зоны германия. Обычно энергия электрона в процессе поляризации (переход I—0) уменьшается на  $\sim 0,5\text{--}1$  эВ [12]. Разность координат  $q_1 - q_0$  характеризует смещение атомов решетки при локализации электрона.

Как мы уже отмечали, основой большинства МС являются донорно-акцепторные комплексы адсорбированных молекул с активными центрами поверхности. Структура таких комплексов, как известно [5, 13], весьма чувствительна к их зарядовому состоянию. Иначе говоря, химические связи комплексов обладают высокой поляризуемостью. В этом, по-видимому, состоит основная специфика МС, отличающая их от быстрых состояний. На конфигурационной диаграмме это

различие отразится в величинах смещений равновесных координат  $q_1 - q_0$ . Если уровень  $E_0$  принадлежит быстрому состоянию, то смещение минимумов потенциальных кривых для локализованного и свободного электрона (пунктирная кривая)  $q'_1 - q_0$  будет значительно меньше, чем при локализации на МС ( $q_1 - q_0$ ).

Диссипация энергии, выделяющейся при переходе системы из состояния I в равновесное состояние 0 (кривая 1 на рис. 2, б) должна осуществляться за счет испускания достаточно большого количества (десяти и более) фононов кристаллической решетки. В ряде случаев такой многофононный процесс характеризуется малой вероятностью [8]. В рассматриваемой ситуации необходимо, кроме того, учесть значительную вероятность перехода системы из метастабильных состояний на кривой 1, например  $\Gamma'$ , на одну из потенциальных кривых 2 после испускания 1—2 фононов («срыв» захвата). По этой причине «окончательный» захват электрона (т. е. локализация его в состоянии 0), после перехода в состояние I, является маловероятным событием. По-видимому, более вероятен в этом случае первоначальный захват электрона на некоторое промежуточное состояние II, в котором его энергия выше дна зоны проводимости на поверхности  $E_{Cs}$  на величину порядка энергии фона  $\hbar\omega$ . Тогда после испускания одного фона энергия электрона будет близкой к  $E_{Cs}$  и вероятность «срыва» захвата резко понизится. Очевидно, что локальное окружение центра захвата в состоянии II уже несколько искажено благодаря тепловым флуктуациям в решетке.

В общем случае вероятность локализации электрона на центре захвата можно записать в виде

$$v = v_0 \exp \left[ -\frac{E - F}{kT} - \frac{(E - B)^2}{2\delta^2} - \alpha(V_0 - E)^{1/2} \right], \quad (3)$$

где  $v_0$  — предэкспоненциальный множитель;  $F$  — энергия Ферми;  $B$  и  $\delta$  — параметры эффективной связи электрона на локальном центре с колебаниями кристаллической решетки [9, 11];  $\alpha$  и  $V_0$  — постоянные величины (см. ниже).

Первый экспоненциальный член в (3) соответствует вероятности возбуждения электрона на уровень зоны проводимости с энергией  $E$ , второй член описывает снижение вероятности захвата благодаря перестройке ближайшего окружения локального центра [9, 11], третий член учитывает вероятность туннелирования сквозь потенциальный барьер высотой  $V_0$ , связанный, например, с присутствием туннельно-тонкой окисной пленки на поверхности полупроводника [14] (коэффициент  $\alpha$  зависит от формы потенциального барьера и от эффективной массы туннелирующего электрона). В однофазных системах туннельный фактор в формуле (3) отсутствует, и малые сечения захвата на МС определяются первым и вторым членами соотношения (3). В случае реальной поверхности германия значительная часть МС расположена вблизи границы раздела полупроводник — окисел и туннельный фактор также не является определяющим [3, 5].

Если температурная зависимость второго члена  $((E - B)^2/2\delta^2)$  в формуле (3) мала, то энергия активации МР в первом приближении равна  $\Delta E_{\tau} \approx E - F$  (туннельный фактор не зависит от температуры)\*.

\* Здесь принимается, что положение уровня Ферми на поверхности полупроводника не зависит от температуры (уровень Ферми «стабилизирован» системой поверхностных состояний).

Произведение  $v_0 \exp[-(E-B)^2/2\delta^2 - \alpha(V_0-E)^{1/2}]$  в формуле (3) по существу играет роль частотного фактора  $\tau_0^{-1}$ , определяемого из эксперимента (формула (2)).

В рассматриваемом случае захвата на промежуточное состояние II (рис. 2, б)  $E-E_{Cs} \approx \hbar\omega_\phi$ , поэтому  $\Delta E_\tau \approx (E_{Cs}-F) + \hbar\omega_\phi$ . В наших экспериментах с германием  $E_{Cs}-F \approx 0,2-0,3$  эВ и, следовательно, наблюдавшиеся для вакуумированных образцов величины  $\Delta E_\tau$  (таблица) близки к ожидаемым. Очевидно, что чем меньше энергия активации  $\Delta E_\tau$ , тем сильнее отличаются конфигурационные координаты  $q_1$  и  $q_{II}$  на рис. 2, б и тем больше величины  $(E-B)^2/2\delta^2$  и  $(V_0-E)$ . Экспериментально это проявляется в значительном уменьшении  $\tau_0^{-1}$ , сопровождающем снижение энергии активации процесса МР  $\Delta E_\tau$  (см. рис. 1).

Весьма вероятно, что рассматриваемые процессы играют заметную роль в широком круге явлений. В частности, они могут приводить к широко известному «компенсационному эффекту» в катализе, заключающемуся в симбатных изменениях величин энергий активации различных каталитических реакций на поверхности полупроводников и соответствующих значений частотного фактора. Заметим, что линейная связь между логарифмом предэкспоненциального множителя и энергией активации процесса, сходная с приведенной на рис. 1, неоднократно отмечалась в явлениях катализа на полупроводниках (эмпирический закон Констебла).

Рассмотрим теперь ситуацию, когда поверхность полупроводника находится в равновесии с парами адсорбата. В этом случае вокруг первичных донорно-акцепторных адсорбционных комплексов, являющихся основой МС, возникают кластеры адсорбированных молекул, связанных друг с другом более слабыми водородными ( $H_2O$ ,  $NH_3$ ) или вандер-ваальсовыми ( $n$ -бх) связями. Существенно, что энергия колебательных мод ( $\hbar\omega_k$ ) этих молекул значительно превышает энергию фононов ( $\hbar\omega_\phi$ ) полупроводника (таблица). В этом случае становится возможной передача избыточной энергии системы электрон — центр захвата колебательным модам адсорбированных молекул\*. Благодаря этому весьма вероятным становится первоначальный захват электрона с более высоких уровней зоны проводимости на некоторое промежуточное состояние III (рис. 2, б), энергия которого выше энергии состояния II на величину порядка ( $\hbar\omega_k - \hbar\omega_\phi$ ). Поскольку при этом требуется меньшая перестройка окружения МС (координата  $q_{III}$  ближе к  $q_1$ , чем  $q_{II}$ ), резко возрастает предэкспоненциальный множитель  $\tau_0^{-1}$  (рис. 1 и таблица). Это приводит к увеличению вероятности локализации электрона на МС и уменьшению времени МР  $\tau$  (таблица). Энергия активации процесса МР в рассматриваемых условиях увеличивается приблизительно на  $(\hbar\omega_k - \hbar\omega_\phi)$ , достигая  $\Delta E_\tau \approx (E_{Cs}-F) + \hbar\omega_k \approx (0,2-0,3$  эВ)  $+ \hbar\omega_k$ . Из приведенных в таблице величин энергий наиболее интенсивных колебательных мод адсорбированных молекул  $\hbar\omega_k$ , а также энергий активации  $\Delta E_\tau$  следует, что это соотношение выполняется достаточно хорошо.

Можно предполагать, что экстраполяция зависимости  $\tau_0^{-1}$  от  $\Delta E_\tau$  на рис. 1 к типичным для твердого тела значениям частотного фактора ( $10^{12}-10^{13}$  с<sup>-1</sup>) позволит качественно оценить энергию активации  $\Delta E_{10}$ ,

\* Возможность обмена энергий между электронами и колебательными модами адсорбированных молекул доказана экспериментами по неупругому туннелированию через тонкие диэлектрические слои [15].

соответствующую переходу системы в состояние 1 (без перестройки ближайшего окружения). В нашем случае такая экстраполяция приводит к величине  $\Delta E_\tau \approx 0,8$  эВ, что по порядку величины согласуется с теоретическими оценками [12].

Если величина  $E_{Cs} - F \approx 0,2 - 0,4$  эВ, то, согласно предлагаемой модели, зависимость МР от температуры для других полупроводников должна быть приблизительно такой же, как для германия. По-видимому, эта ситуация реализуется в экспериментах на ZnO, выполненных в работе [16]. В условиях, когда на поверхности присутствовали слабосвязанные молекулы воды, энергия активации МР на ZnO оказалась равной 0,6 эВ. После адсорбции на поверхности ZnO молекул ароматического соединения — эритрозина (энергия колебательных мод которого близка к  $\hbar\omega_k$  для  $n=6$ ), энергия активации МР снижалась до  $\Delta E_\tau \approx 0,35$  эВ.

В заключение заметим, что предложенная модель захвата электронов на МС позволяет не только объяснить имеющиеся экспериментальные данные по температурной зависимости МР, но в ряде случаев может предсказать ожидаемую зависимость кинетики релаксации от природы адсорбированных молекул и температуры. Немаловажно также, что модель предсказывает существенное колебательное возбуждение адсорбированных молекул в процессе электронных переходов на МС, что может привести к десорбции молекул или разрыву части внутримолекулярных связей. При определенных условиях такое «электрически управляемое» возбуждение адсорбированных молекул может быть использовано в гетерогенном катализе на полупроводниках и в системах полупроводник — диэлектрик. Следствием предложенной модели захвата является также принципиальная возможность использования возбуждений в системе адсорбированных молекул для стимулирования электронных переходов в твердом теле. Подтверждением справедливости последнего заключения являются эксперименты по фотосенсибилизации электронных переходов в приповерхностной области твердого тела в присутствии адсорбированных молекул красителей [17]. Совместные исследования медленной релаксации и фотовозбуждения адсорбированных молекул позволяет раскрыть сложный механизм обмена энергий между поверхностными возбуждениями твердого тела и адсорбированными молекулами.

Авторы благодарят С. Ф. Тимашева за интересные и полезные дискуссии.

#### СПИСОК ЛИТЕРАТУРЫ

1. Kozlov S. N. «Phys. stat. solidi(a)», 1977, **42**, 115.
2. Козлов С. Н., Киселев В. Ф. «Физ. и техн. полупроводников», 1967, **1**, 568.
3. Kozlov S. N., Kiselev V. F., Novotozkii-Vlasov Yu. F. «Surface Science», 1971, **28**, 395.
4. Козлов С. Н., Новотоцкий-Власов Ю. Ф., Киселев В. Ф. «Физ. и техн. полупроводников», 1972, **6**, 2102.
5. Киселев В. Ф., Козлов С. Н., Зарифьянид Ю. А. В сб.: «Проблемы физической химии поверхности полупроводников». Новосибирск, 1978, с. 100.
6. Мэнни А. В сб.: «Новое в исследовании поверхности твердого тела», т. 2. М., 1977, с. 306.
7. Литовченко В. Г., Ляшенко В. И., Фролов О. С. В сб.: «Поверхностные свойства полупроводников». М., 1962, с. 147.
8. Bonch-Bruievich V. L., Landsberg E. G. «Phys. stat. solidi», 1968, **29**, 9.
9. Rickayzen G. «Proc. Roy. Soc.», 1957, **A241**, 480, (перевод в сб.: «Рекомбинация носителей в полупроводниках». М., 1959, с. 69).

10. Волькенштейн Ф. Ф., Карпенко И. В., Тимашев С. Ф. ДАН СССР, 1972, **206**, 136.
11. Тимашев С. Ф. В сб.: «Электронные процессы на поверхности полупроводников». Новосибирск, 1974, с. 201.
12. Мотт Н., Дэвис Э. Электронные процессы в некристаллических веществах. М., 1974, с. 117.
13. Киселев В. Ф., Прудников Р. В., Федоров Г. Г. ДАН СССР, 1973, **208**, 387.
14. Литовченко В. Г., Фролов О. С., Серба А. А. «Радиотехника и электроника», 1964, **9**, 1046.
15. Jaklevic R. C., Lambe J. «Phys. Rev. Lett.», 1966, **17**, 1139; «Phys. Rev.», 1968, **165**, 821.
16. Повхан Т. И. «Журнал научной и прикладной фотографии и кинематографии», 1974, **19**, 221.
17. Акимов И. А. В сб.: «Спектроскопия фотопревращений в молекулах». Л., 1977, с. 239.

Кафедра  
общей физики для хим. ф-та

Поступила в редакцию  
09.03.78

УДК 535.376

Т. С. БЕССОНОВА, А. И. СОБКО

## ТЕМПЕРАТУРНАЯ ЗАВИСИМОСТЬ СТАЦИОНАРНОЙ РАДИОЛЮМИНЕСЦЕНЦИИ В ДВУХУРОВНЕВОЙ СИСТЕМЕ

В опубликованных нами работах [1—3] отмечены интересные зависимости параметров радиолюминесценции (РЛ) рубина ( $\text{Al}_2\text{O}_3 + \text{Cr}$ ) от количества введенной примеси и температуры облучения. Так, при измерении интенсивности РЛ в R-линиях ( $I_R$ ) обнаружилось, что  $I_R$  является слабой функцией концентрации ионов хрома  $C_{\text{Cr}^{3+}}$ , что оказывается следствием малой величины внутреннего и внешнего тушения. Кроме того, было получено, что при понижении температуры от комнатной ( $T_K$ ) до температуры жидкого азота ( $T_a$ ) интенсивность свечения заметно изменяется, причем это изменение распадается на две стадии. При концентрации  $\text{Cr}^{3+}$  до  $\sim 0,2$  вес. % сразу после охлаждения образцов  $I_R$  скачком возрастает, а затем в процессе дальнейшего облучения начинает медленно падать до некоторого стационарного уровня, отличающегося от уровня при  $T_K$ . Величина «скачка» тем меньше, чем больше концентрация  $\text{Cr}^{3+}$ , и при  $C_{\text{Cr}^{3+}} \geq 0,2$  вес. % эта величина меняет знак:  $I_R$  в таких образцах после охлаждения резко падает, оставаясь затем практически неизменной. Мы полагали, что скачок в изменении  $I_R$  связан с изменением вероятности внутрицентровых излучательных переходов, а стадия медленного уменьшения  $I_R$  в процессе облучения при  $T_a$  обусловлена перераспределением концентрации локализованных зарядов.

В настоящей работе мы делаем попытку теоретически интерпретировать совокупность наблюдавшихся явлений на основе рассмотрения кинетики электронно-дырочных процессов в рамках зонной схемы кристаллофосфора. В общем случае эта задача является очень сложной и не имеет однозначного решения, поэтому мы будем вынуждены использовать некоторые приближения и допущения, которые вытекают из имеющихся в настоящее время экспериментальных данных по рубину (такой подход применен для других веществ авторами ра-